

東北大学大学院 学生真・今野 弘  
東北大学工学部 正員 佐藤敦久

## 1.はじめに

急速ろ過法のろ過機構についての論文は少くないがその着眼点、アプローチの手法によって趣が異なる。著者らは、抑制機構を探るために1つのアプローチ法として、ろ材粒子表面へ付着凝聚した懸濁物の量はらびに性状の検討を進めているが今回若干の知見を得たので報告する。

## 2.実験方法

図-1に実験装置の概要、表は実験条件と測定項目をまとめて示した。ろ過筒への流入水としては、凝集剤添加後、急速混和のみを行ないフロック形成、沈殿を省略したマイクロフロック形式の懸濁水とした。抑制フロックの密度はピクノメータ法、アルミニウム濃度はオキシン法によりそれぞれ定量した。

## 3.実験結果および考察

## 3-1 抑制フロック中のアルミニウム濃度について

図-2は、ろ過時間5時間および12時間における抑制フロック中のアルミニウム濃度( $Af$ )とフロックの乾燥重量( $f_{dw}$ )の比の砂層方向の分布を示したものである(他のろ過時間での図は省略)。図をみると明らかに5時間があまり経過しない時点では砂層の深さ方向に  $Af/f_{dw}$  がだいぶ大きくなり、下層部が上層部よりかなり大きな値を示す。しかし、時間の経過とともにその差が小さくなる傾向を示し、ろ過の終期では若干減少、あるいはほとんどの差がなくなくなることが認められる。このよう傾向は砂層中から採水した懸濁水の  $Af/f_{dw}$  の砂層方向分布についてもみられる(図、省略)。これらのことから次のことが推論できる。

1) ろ過の終期以前では砂層上層部ほどアルミニウム化合物よりもカオリシングの方が抑制される。

懸濁水と抑制フロックの  $Af/f_{dw}$  のオーダーを比較すると、懸濁水の  $Af/f_{dw}$  が1オーダー高く、この点、フロック中にヒリニまれていながらアルミニウム分が多量存在するものと思われるが、一応懸濁水の  $Af/f_{dw}$  に見合った分だけフロックが抑制されると考えられる。

2) 従来報告されてきたヒュラの「(アルミニウム濃度)/(抑制物の乾燥重量)が砂層方向に一様に減少する」という現象はろ過終期にのみ見えることであって、ろ過時間すべてにわたって適用することは妥当ではない。

3-2 抑制フロックの空隙率( $\beta_f$ )

著者らは、前に抑制フロックの空隙率( $\beta_f$ ) はらびに砂の形状係数、Carman の定数 ( $k/4^2$ ,  $\alpha/\beta$  など) が一定であるという仮定は成立しないのではないかという知見を報告した。<sup>1), 2)</sup> 現在、 $\beta_f$  と上記の

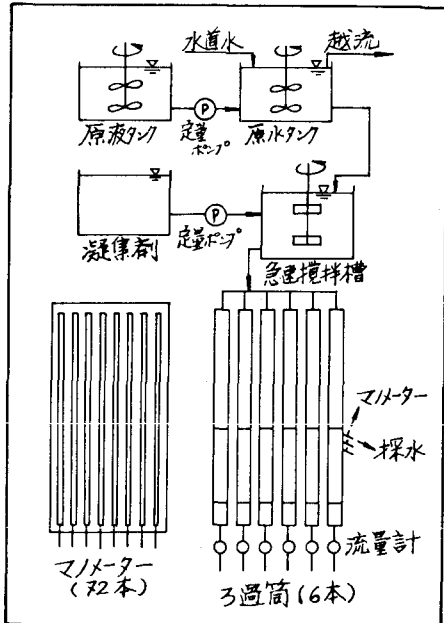


図-1 実験装置の概要

表 実験条件と測定項目

原水	100 mg/l 東北大学生水(=Kadim 懸濁水)
凝集剤	硫酸酸化ペンド
注入量	$Al_2(SO_4)_3 10 ppm$ , $1.58 Al^{3+} ppm$
搅拌速度	100 rpm
搅拌時間	11 s
搅拌時間	約1分
その他	原水 pH = 7.6~7.7, 水温 11.1~13.0 °C, 流速 50
ろ過砂	幾何平均径 $d = 0.35 mm$ , 均等係数 1.0
ろ過速度	270 m/day
砂層率 (%)	(初期) 48.2 %
砂層厚	50.0 cm
砂上水深	116.5 cm
ろ過筒	10 × 10 cm の透明塗化ビニール
ろ過制御	流入: 定水位, 流出: ベルブ
測定項目	損失水頭, 抑制率(%), 乾燥重量 フロックの密度, アルミニウム濃度

係数と定数を分解して評価するにはできないので、Clemen の定数あるいは砂の形状係数が一定であるといふ仮定を設け、若者らが前に説明した次の式を使って抑留ロックの空隙率( $\gamma_f$ )を推算した。

$$\gamma_f = 1 - \frac{\sigma_3}{\sigma}$$

$$\sigma_3 = \frac{W_f / \rho_f}{V_s}$$

$$\sigma = \frac{1 - i_f^{-1}}{1 - i_f^{-1} + \frac{1}{12(1-\beta)}} \rho_0$$

$$i_f = \frac{dh/dz}{dr/dz}$$

$\sigma_3$ : 実質比堆積 [-]

$\sigma$ : 比堆積 [-]

$W_f$ : 抑留ロックの乾燥重量 [t]

$\rho_f$ : 抑留ロックの実質密度 [%/t]

$V_s$ : 砂層体積 [ $m^3$ ]

$i_f$ : 動水勾配の比 [-]

$\beta_0$ : 初期の砂層空隙率 [-]

$dh/dz$ : 清浄砂層の動水勾配 [-]

$h$ : 損失水頭 [ $m$ ]

$z$ : 砂層深さ [ $m$ ]

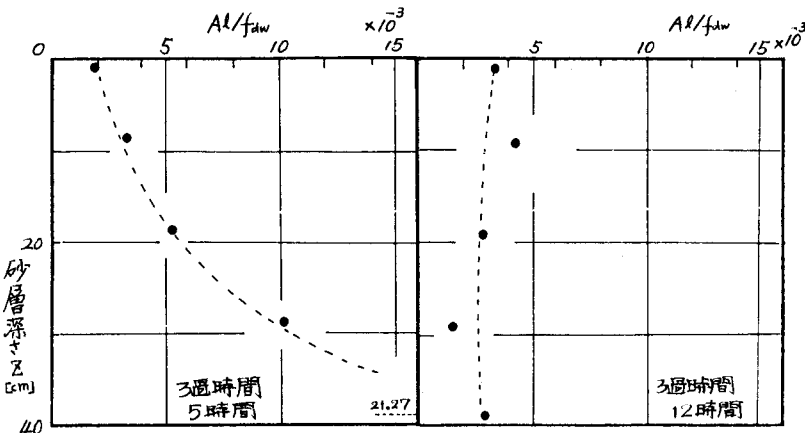


図-2 抑留ロックの  $Al/f_{dw}$  分布の一例

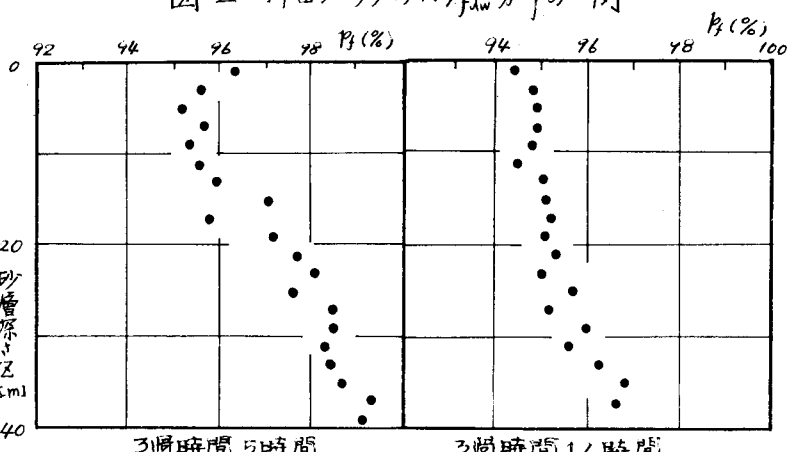


図-3 抑留ロック空隙率の推算結果の一例

抑留ロックの空隙率( $\gamma_f$ )の推算結果の一例を示したのが図-3である(他の3週時間の図は省略)。このことより次のことが結論づけられる。

- 1)  $\gamma_f$  は砂層方向にしだいに大きくなる。このことは、下部ほど  $Al(OH)_3$  などの抑制比が大きくなる前項の考察からも首肯される。
- 2) 各砂層深さごとの  $\gamma_f$  は3週時間の経過に伴って減少する。また、 $\gamma_f$  はある値におちつくようであり、その下限安定値は 94 ~ 95 % 程度と考えられる。

#### 4. おわりに

このようはアプローチによって急速砂3週機構に影響を与えるパラメータをある程度評価することができるが、本報告は单一の凝集条件すらばく3週条件についての結論であって不偏性に欠ける。種々検査を加えた諸量は、固有の値とは解し得ず、今後他の条件を検討を加えていくつもりである。

最後に、本実験は当時東北大学学生 川股幸彦君、渡辺哲宏君に依るところが多い。記して謝意を表す。

#### 参考文献

- 1) 佐藤・今野：急速砂3週における懸濁物抑制について、昭51.10, 土木学会第31回年次学術講演会講演概要集第2部, pp. 472~473
- 2) 佐藤・今野：急速砂3週における抑制特性についての一考察、昭52.3, 昭和51年度土木学会東北支部技術研究発表会講演概要, pp. 51~52